

Tablica 4

SVJETSKA POTROŠNJA KALIJEVIH SPOJEVA IZRAŽENIH KAO  $K_2O$ 

Godina	Potrošnja $K_2O$ Mt	Godina	Potrošnja $K_2O$ Mt
1947	1.6	1960	6.0
1950	2.2	1962	6.6
1952	3.0	1964	8.1
1955	3.9	1967	11
1958	5.5	1970	15

Svjetska potrošnja kalijevih spojeva, izraženih kao  $K_2O$ , pokazuje u poratnom razdoblju stalni porast (tabl. 4). To se očekuje i u narednim godinama, jer u svijetu još postoje golema poljoprivredna područja bez intenzivne upotrebe umjetnih gnojiva.

Potrošnja kalijevih spojeva, kao umjetnih gnojiva u Jugoslaviji pruža drugačiju sliku (v. *Gnojiva, umjetna*). U posljednjih desetak godina ta potrošnja gotovo stagnira, a povećat će se vjerojatno samo povećanjem obradivih površina.

Cijena kalijevih gnojiva držala se u razdoblju 1956—1966. godine u relativno stabilnim okvirima. Tako je npr. cijena kalij-klorida u SAD varirala između 35—40\$ po toni  $K_2O$ .

LIT.: K. Bock, R. Bock, Kaliindustrie, u djelu Ullmann's Encyclopädie der technischen Chemie, 9. Band. Urban & Schwarzenberg, München 1957. — M. Blum, J. M. Madaus, Potassium, J. J. Jacobs, Potassium compounds, u djelu R. E. Kirk, D. F. Othmer (edit.), Encyclopedia of chemical technology, vol. 16. Interscience, New York 1968. — T. P. Whaley, Sodium, Potassium, Rubidium, Cesium and Francium, u djelu Comprehensive inorganic chemistry, vol. 1. Pergamon Press, Oxford 1973. — I. Filipović, S. Lipanović, Opća i anorganska kemija. Školska knjiga, Zagreb 1973.

S. Lipanović

**KAPLJEVINE**, tvari u jednom od agregatnih stanja, u kojem lako mijenjaju svoj oblik (poprimaju oblik posude u kojoj se nalaze), ali praktički su nestlačive te stoga imaju stalni volumen. U dosadašnjim člancima TE (a zadržat će se i u budućim) upotrebljava se tradicionalna podjela agregatnih stanja na plinovito, tekuće i čvrsto, pa su kapljevine nazivane tekućinama. Postoji i drugačija podjela (koja se upotrebljava u ovom članku): tvari su s obzirom na agregatno stanje razvrstane na čvrste i tekuće (fluidne). Pod tekućim se podrazumijevaju kapljevine (tekućine u svakodnevnom smislu) i plinovi. Takva se podjela ponekad primjenjuje zbog mnogih sličnih pojava u kapljevinama i plinovima (nestalan oblik, tečenje itd.). Prema fizičkim se svojstvima kapljevina nalazi između plina i kristala (čvrste faze), te stoga kapljevina ima izvjesne sličnosti i s plinom i s kristalom (v. *Plinovi*; v. *Čvrsto stanje*, TE3, str. 128). Molekule se plina međusobno gibaju neovisno, energija plina je zbroj unutrašnje energije molekula i kinetičke energije molekula u gibanju, i to velikim dijelom energije translacijskog gibanja, međumolekularna potencijalna energija je zanemariva. Plin je lako stlačiv, volumen i oblik mu nisu postojani (plin ekspandira i zauzima cijeli raspoloživi mu prostor), a stanje je idealnog plina potpuni nered. Nasuprot tome, idealni kristal je potpuno sređen, translacijsko gibanje molekula je zanemarivo, molekule titraju oko ravnotežnih položaja, a intermolekularna potencijalna energija je veliki dio energije kristala. Među molekulama kristala vlada pravilni poredak kratkog (bliski poredak) i dugog dometa (daleki poredak), kristal je teško stlačiv, a stalni mu je i oblik i volumen. Među molekulama kapljevine vlada samo bliski poredak kratkog dometa i samo je djelomično ostvarena sredjenost u strukturi. S obzirom na nepostojani oblik kapljevina nalikuje na plin, a s obzirom na stalni volumen i praktičku nestlačivost na kristal. Kapljevine sa svojstvima karakterističnim samo za kapljivo stanje nazivaju se pravim kapljevinama, i o nekim od njihovih svojstava bit će još riječi (unutrašnji tlak, napetost površine, fluidnost ili žitkost i dr.). Posebno područje zauzimaju neki realni sustavi, kad se kapljevina razlikuje od pravih kapljevina, i po svojstvima se nalazi na graničnom području između dvaju agregatnih stanja. Mezo-

morfno i staklasto stanje stoji između kapljevine i kristala, a realni plin između kapljevine i idealnog plina. Pod čistim kapljevinama bit će razmotrene polarne i nepolarne kapljevine te soli i metali u rastaljenom stanju, dok kapljevite smjese i otopine podliježu još zasebnim zakonitostima dvokomponentnih i višekomponentnih sustava (v. *Otopine*; v. *Elektrokemija*, TE4, str. 364). Zasebno će još biti spomenute i neke osobitosti kapljevine kao što je suprafluidnost.

**Međumolekularne sile u kapljevinama.** Svojstva kapljevina su posljedica djelovanja međumolekularnih sila, koje ovise o kemijskoj prirodi tvari i o fizikalnim uvjetima. Međumolekularna sila  $F$  može se prikazati kao negativni gradijent potencijalne energije  $E_p$ , tj.  $F = -\text{grad } E_p$ , a u radikalnoj simetriji  $F = -\partial E_p(r)/\partial r$ . Međumolekularne sile mogu biti privlačne (kohesijske), odnosno odbojne (repulzivske). Ako se iznos sile s porastom udaljenosti  $r$  među molekulama sporo smanjuje, sila je dalekog dometa, a ako se s porastom udaljenosti naglo smanjuje, sila je kratkog dometa. Međumolekularne, odnosno međuionske sile u kapljevini ovise o strukturi i izvode se iz izraza za potencijalnu energiju  $E_p$ .

Potencijalna je energija u pojedinim slučajevima: a) u ionskoj kapljevini

$$E_p = -K q_1 q_2 r^{-1}, \quad (1)$$

gdje su  $K$  konstanta proporcionalnosti u Coulombovu zakonu,  $q$  električni naboј,  $r$  udaljenost među ionima, a indeksi 1 i 2 odnose se na dva promatrana iona; b) među stalnim električnim dipolima polarnih molekula

$$E_p = -2\mu_1^2\mu_2^2(3kT)^{-1}r^{-6}, \quad (2)$$

gdje su  $\mu$  električni dipolni momenti,  $k$  Boltzmannova konstanta,  $T$  termodinamička temperatura; c) među molekulama kad stalni električni dipol inducira dipolni moment na drugoj molekuli

$$E_p = -(\alpha_2\mu_1^2 + \alpha_1\mu_2^2)r^{-6}, \quad (3)$$

gdje su  $\alpha$  polarizabilnosti molekula; d) između iona i dipola koji je na molekuli inducirao taj ion

$$E_p = -C_p r^{-4}, \quad (4)$$

gdje je  $C_p$  konstanta; e) među atomima metala potencijalna je energija određena strukturom koju tvore pozitivni ioni metala s pokretljivim elektronima (elektronski plin) koji se nalaze oko jezgara (v. *Atom, Struktura metala*, TE1, str. 477); f) među neutralnim molekulama bez stalnog električnog dipolnog momenta (npr. argon) vladaju disperzijske interakcije (Londonove sile) koje se pripisuju trenutnoj polarizaciji molekula i trenutno induciranim dipolnim momentu susjedne molekule, pa je potencijalna energija za dva jednakata oscilatora

$$E_p = -\frac{3}{4}h v_0 \alpha^2 r^{-6}, \quad (5)$$

a za dvije različite molekule

$$E_p = -\frac{3}{2}I_1 I_2 \alpha_1 \alpha_2 (I_1 + I_2)^{-1} r^{-6}, \quad (6)$$

gdje su:  $h$  Planckova konstanta,  $v_0$  karakteristična frekvencija oscilatora, a  $I$  prvi ionizacijski potencijali (ionizacijske energije) molekula; g) među molekulama zbog vodikove veze, o čemu će još biti riječi. U svim navedenim slučajevima pojavljuju se sile privlačenja, a sile koje nastaju u slučajevima b) do g) nazivaju se i van der Waalsovim silama.

Uz privlačne sile među molekulama djeluju i odbojne sile zbog energije prekrivanja (overlap energy) pozitivne jezgre i elektronskog oblaka jedne molekule s onima druge molekule, i proporcionalne su s potencijom međumolekulare udaljenosti  $r^{-n}$ , gdje eksponent  $n$  iznosi 9 do 12.

Ukupna potencijalna energija iznosi

$$E_p = -Ar^{-6} + Br^{-n}, \quad (7)$$

gdje su  $A$  i  $B$  konstantne. Prvi član izraza (7) jednak je energiji prema kojoj se određuje sila privlačenja, a drugi član prikazuje energiju koja dovodi do sile odbijanja. Odbojna je sila naročito izražena kad su međumolekulare udaljenosti male i to je uzrok praktičke nestlačivosti kapljevine.

**Struktura kapljevine.** Razmatranje karakterističnih svojstava pravih kapljevina dovelo je do već zastarjele predodžbe o potpuno nesređenoj strukturi, što su kasnije korigirali rezultati ispitivanja kapljevine metodom rendgenske difrakcije (P. Debye i P. Scherrer, 1916. g.), kad su na izvjesnu pravilnost u rasporedu molekula pokazivali dobiveni difuzijski difrakcijski prstenvi. Uz Braggovu metodu (W. L. Bragg i W. H. Bragg, 1912) određivanja udaljenosti među ravninama kristalne rešetke na osnovi analize maksimuma intenziteta rendgenske zrake nakon difrakcije i interferencije, koju je ponajviše upotrebljavao G. W. Stewart (1927), razvila se i metoda radijalne raspodjele (P. Debye, 1925, P. Zernike i J. A. Prins, 1927, P. Debye i H. Menke, 1930) kojom se u kapljevini određuje funkcija raspodjele molekula u određenoj udaljenosti u svim smjerovima od izabrane središnje molekule. Maksimumi na toj funkciji pokazuju pravilnost u strukturi kapljevine, koja vlada na udaljenosti do  $\sim 1\text{ nm}$  (bliski poredak unutar *submikroskopskog područja*), a na većim se udaljenostima taj poredak gubi (za razliku od strukture kristala, gdje se kroz cijeli kristal proteže *daleki poredak*). Međumolekularna udaljenost u kapljevini redovito je za nekoliko postotaka veća od one u kristalu.

**Modeli strukture kapljevine.** Matematičko opisivanje stanja osniva se na zakonitostima statističke mehanike, koja se pomoću statističke termodinamike povezuje s termodinamičkim funkcijama, a kao preduvjet je potrebno ustanoviti sva moguća energetska stanja molekule i definirati tzv. partičijsku funkciju. Definiranje partičijske funkcije za kapljevine, međutim, znatno je teže nego za plinove ili kristale. Pri računanju partičijske funkcije za kristal pretpostavlja se idealni raspored čestica s točno definiranim položajem u prostoru, a za plin se pretpostavlja idealni kaos s potpuno nelokaliziranim česticama. Daleko najveći udjel u ukupnoj partičijskoj funkciji ima translacijsko gibanje koje čini da je partičijska funkcija za plinove oko 20 redova veličine veća nego za kristale. Tako je između tih ekstremnih granica teško odrediti vrijednost partičijske funkcije za kapljevine. Zbog toga se predodžbe o strukturi kapljevine za sada većinom zadovoljavaju analogijama s plinom i kristalom.

Utvrđena se pravilnost u strukturi kapljevine tumačila mikrokristalnom strukturu zbog pravilnih nakupina *cibotaktičkih grupa* (grčki: prostorni raspored) (G. W. Stewart, 1927), koje su stalnim pregrupiranjem u ravnoteži s preostalim česticama kapljevine, i *kvazikristalnom* (*pseudokristalnom*) struktrom (J. A. Prins, J. D. Bernal), kad se zapažena struktura smatra odrazom statističkog prosjeka brojnih superponiranih trenutnih struktura. Analogija s plinskim stanjem unosi predodžbu o međusobno neovisnom gibanju nakupina od po nekoliko molekula (J. Meyer, 1937). Proračun za međudjelovanje dviju čestica (*potencijal jednog para*) aproksimativno zadovoljava i kad se promatra više molekula, i kad su izračunate udaljenosti među česticama koje se nalaze u minimumu sfernosimetričnog potencijala (Lennard-Jonesov potencijal) koji se može smatrati *kavezom*, odnosno *stanicom* koja određuje slobodni volumen za gibanje molekula u kapljevini. Analogija s kristalom unosi pojam kristalne rešetke, a za pojavu nereda i s time povezana svojstva kapljevine odgovorne su *šupljine* (H. Eyring, 1933), tvoreći tako slobodni volumen u kapljevini (oko 3% ukupnog volumena, što se može odrediti iz stlačivosti). Analognog kretanja nekoliko molekula u praznom prostoru u parnoj fazi, u kapljevini se kreće nekoliko *šupljina* među mnoštvom molekula, a s porastom temperature povećava se koncentracija šupljina, sve dok se na kritičnoj temperaturi (v. *Fazne ravnoteže*, TE5, str. 377) gustoća pare i gustoća kapljevine međusobno ne izjednače (L. P. Cailletet i E. Mathias, zakon rektilinearnih dijametara, 1886).

Difrakcija rendgenskih zraka pruža podatke o tzv. statičkoj strukturi, što predstavlja vremenski prosjek statističke raspodjele, dok rezultati neelastičnog rasipanja neutrona daju dinamičku strukturu, tj. korelaciju nalaženja molekule u prostoru i vremenu (L. van Hove, 1954, teorijska podloga; B. N. Brockhouse, 1958, prvi eksperiment). *Komputorski eksperiment* simulira situaciju u realnom sustavu i pruža odgovor kada ne postoji analitičko rješenje, služeći se izrazom za poten-

cijalnu energiju s članovima za privlačno i odbojno djelovanje (7). Metodom *Monte Carlo* izračunava se ukupna potencijalna energija za mnoštvo molekula, i to nakon svakog pomaka jedne od molekula, te se daje statistički prosjek nakon nekoliko desetaka tisuća pomaka. Metodom molekularne dinamike pomoću električnog računala proračunavaju se neravnotežne konfiguracije i ucrtavaju se putanje pojedinih molekula. Na nižim temperaturama putanje molekula ocrtavaju svoje srednje položaje i međusobno se ne dodiruju (kristal), a na višim se temperaturama putanje dodiruje i međusobno isprepliću (kapljevina).

### STRUKTURA NEKIH PRAVIH KAPLJEVINA

Struktura kapljevine je usko povezana s međumolekularnim silama i stoga je ovisna o kemijskim svojstvima tvari. Prikazat će se najraširenija i najvažnija kapljevina — voda, koja posjeduje i naročita svojstva, zatim organske kapljevine, te taline soli i taline metala.

**Struktura vode.** Voda je na Zemlji najraširenija kapljevina, a osobita su svojstva vode sudobosna za klimatske uvjete i mogućnost života na našoj planeti. Zahvaljujući dipolnom momentu (električni moment  $1,85 \text{ debye} = 6,17 \cdot 10^{-30} \text{ Cm}$ , duljina veze O—H  $0,096\text{nm}$ , valentni kut  $104,5^\circ$ ) te djelovanju vodikove veze, među molekulama vode postoje jake privlačne sile, što uzrokuju veliki toplinski kapacitet i visoku temperaturu ključanja. Velike količine vode ostaju stoga u prirodi u kapljevitom stanju, a kako uz to voda u kapljevitom stanju na temperaturi smrzavanja ( $0^\circ\text{C}$ ) posjeduje i veću gustoću od leda, led pliva na površini kapljevine (vode u kapljevitom stanju). Stoga se rijeke, jezera i mora ne smrzavaju do dna i zimi se život u vodi ne uništava. Odraz osobite strukture vode također je i nenormalno svojstvo da se maksimum gustoće kapljevine pojavljuje pri  $4^\circ\text{C}$  te da čvrsta faza s porastom tlaka prelazi u kapljevinu (v. *Fazne ravnoteže*, TE5, str. 382), led se pod opterećenjem tali, što omogućuje i klizanje na ledu. Ispitivanje rendgenskim zrakama (J. D. Bernal i R. H. Fowler, 1933; J. Morgan i B. E. Warren, 1938; A. H. Narten, M. D. Danford i H. A. Levy, 1967) pokazalo je da je posredstvom vodikove veze svaki atom kisika preko vodikovog iona povezan sa četiri atoma kisika po tetraedrijskom rasporedu, što daje rahlu šupljikavu strukturu leda. Taljenjem leda vodikove se veze prekidaju, rahla struktura leda se urušava i nastaje zbijena struktura kapljevine tako, što se molekule vode smještavaju u intersticijalne (međuprostorne) položaje, koji su u krutom agregatnom stanju bili prazni. Zbijena struktura vode u kapljevitom stanju povećava gustoću pri taljenju; voda u kapljevitom stanju postizava najveću gustoću na temperaturi od  $4^\circ\text{C}$ , a daljim se porastom temperature gustoća kapljevine smanjuje zbog toplinskog kretanja molekula. Promjena strukture vode, prijelaz leda u kapljevinu, uspoređuje se sa strukturnom promjenom tridimit—kvarc (J. D. Bernal i R. H. Fowler, 1933). Metodom radijalne distribucije (A. H. Narten, M. D. Danford i H. A. Levy, 1967) utvrđen je efektivni polumjer molekule vode od  $0,25\text{ nm}$  u kapljevitom stanju, određeno je da se područje pravilnog rasporeda (*kratkog dometa*) proteže do  $0,8\text{ nm}$  pri  $4^\circ\text{C}$  (na  $100^\circ\text{C}$  do  $0,6\text{ nm}$ ), da je koordinacija u kapljevitoj vodi tetraedrijska kao u ledu I (v. *Fazne ravnoteže*, TE5, str. 383) i čini se da se na udaljenosti  $0,35\text{ nm}$  od središnje molekule nalaze spomenuta intersticijalna mjesta, koja su u ledu bila prazna, a taljenjem ih zauzimaju molekule vode, izazvavši time smanjenje volumena i porast gustoće. Smatra se da voda u kapljevitom stanju posjeduje *pseudokristalnu strukturu*, gdje se vodikove veze zbog termičkog gibanja molekula naizmjenično prekidaju i ponovno uspostavljaju. Dok neki misle da u vodi vlada jedinstvena struktura (J. D. Bernal i R. H. Fowler, 1933; J. A. Pople, 1951; T. F. Wall i D. F. Hornig, 1965), drugi smatraju da se radi o *miješanoj strukturi* (A. Eucken, 1947; H. S. Frank i W. Y. Wen, 1957; G. Nemethy i G. H. Scheraga, 1962) kao dinamičkoj ravnoteži između nakupina molekula vode poput strukture leda I (uz neaggregirane molekule vode) i nakupina poput strukture leda III (M. S. Jhon, T. Ree, H. Eyring, 1966).

**Struktura organskih kapljivina.** Pored međusobnog privlačenja molekula ugljikovodika u organskim molekulama u kapljevitom stanju dodatno još djeluju zasebne grupe atoma, kao npr. funkcionalne grupe alkohola, kiselina, te posebne strukture, kao benzen. Difrakcija rendgenskih zraka pokazuje unutar malih područja kapljivine organskog spoja pravilnost analognu onoj u čvrstom stanju, ali s nešto povećanim razmacima među molekulama. U alifatskim ugljikovodicima (G. W. Stewart, 1928) molekule su u kapljivini više ili manje paralelno orijentirane i međusobno udaljene oko 0,46 nm, prosječna površina presjeka odgovara onoj u površinskom filmu ( $21 \cdot 10^{-16} \text{ cm}^2$ ) i neovisna je o duljini lanca. Alifatski alkoholi i karboksilne kiseline pokazuju još i dodatni maksimum, koji ovisi o duljini lanca, a pripisuje se dodatnom periodičnom rasporedu zbog asocijacije molekula (W. C. Pierce, 1938) preko funkcionalnih skupina uz sudjelovanje vodikove veze. Benzen u ravnini svake molekule ima po 6 susjednih molekula (W. C. Pierce, 1937; S. Katzoff, 1934).

**Struktura taline soli i taline metala.** Talina soli ima pozitivno i negativno nabijene ione u kapljevitom stanju, a talina metala sadrži pozitivne ione u elektronskom plinu, i u tim talinama postoji određena pravilnost slična onoj u čvrstom stanju. Za talinu metala karakteristične su razmjerne male šupljine i stoga malo povećanje volumena tokom taljenja, budući da je ion metala znatno manji od električki neutralnog atoma. U novije se vrijeme stanje taline soli i taline metala teoretski razrađuje uz formulaciju pogodnih partijskih funkcija.

### SVOJSTVA KAPLJEVINA

Karakteristična svojstva kapljivina jesu unutrašnji tlak, napetost površine, te viskoznost odnosno fluidnost.

**Unutrašnji tlak.** Karakteristično je svojstvo kapljivine da unatoč nestalnog oblika ima stalni volumen. To svojstvo je posljedica privlačnih sila među molekulama, koje stvaraju unutrašnji tlak koji sprečava razdvajanje molekula. Izraz za unutrašnji tlak može se termodinamički općenito izvesti.

Ako je  $P_i$  unutrašnji tlak, povećanjem volumena sustava za  $dV$ , uz konstantnu temperaturu, unutrašnja energija sustava  $U$  poraste za

$$dU = P_i dV = \left( \frac{\partial U}{\partial V} \right)_T dV, \quad (8)$$

pa je odatile

$$P_i = \left( \frac{\partial U}{\partial V} \right)_T. \quad (9)$$

Na osnovi odnosa među veličinama stanja (v. *Fazne ravnoteže*, TE5, str. 379; v. *Termodinamika*) za totalni diferencijal unutrašnje energije vrijedi

$$dU = T dS - p dV, \quad (10)$$

gdje je  $T$  termodinamička temperatura,  $S$  entropija, a  $p$  vanjski tlak, pa se dobiva da je

$$\left( \frac{\partial U}{\partial V} \right)_T = -p + T \left( \frac{\partial S}{\partial V} \right)_T. \quad (11)$$

Slobodna energija može se prikazati relacijom

$$F = U - TS, \quad (12)$$

pa je totalni diferencijal

$$dF = dU - T dS - S dT. \quad (13)$$

Nakon uvrštenja (10) u (13) dobiva se

$$dF = -pdV - SdT. \quad (14)$$

Prve su parcijalne derivacije

$$\left( \frac{\partial F}{\partial V} \right)_T = -p; \quad \left( \frac{\partial F}{\partial T} \right)_V = -S. \quad (15)$$

a druga je derivacija

$$-\frac{\partial^2 F}{\partial V \partial T} = \left( \frac{\partial p}{\partial T} \right)_V = \left( \frac{\partial S}{\partial V} \right)_T. \quad (16)$$

Uvrštanjem (16) u (11), uvezši pri tome u obzir relaciju (9), dobiva se općenita jednadžba za unutrašnji tlak

$$P_i = \left( \frac{\partial U}{\partial V} \right)_T = -p + T \left( \frac{\partial p}{\partial T} \right)_V, \quad (17)$$

koji ovisi o neposredno mjerljivim veličinama stanja ( $p$  i  $T$ ).

Unutrašnji tlak idealnih plinova jednak je nuli, a u kapljevinama i čvrstoj tvari unutrašnji tlak  $P_i$  znatno je veći od vanjskog tlaka  $p$ . Zbog toga se za kapljivine i čvrste tvari može upotrijebiti približni izraz, koji se dobiva iz (17) uz  $p = 0$

$$P_i = T \left( \frac{\partial p}{\partial T} \right)_V, \quad (18a)$$

a koji se može izraziti i jednadžbom

$$P_i = \frac{T \alpha}{\kappa}, \quad (18b)$$

u kojoj su

$$\alpha = \frac{1}{V} \left( \frac{\partial V}{\partial T} \right)_p \quad (19)$$

volumenski koeficijent ekspanzije, a

$$\kappa = - \frac{1}{V} \left( \frac{\partial V}{\partial p} \right)_T \quad (20)$$

izotermna stlačivost.

Izraz za unutrašnji tlak kapljivine

$$P_i = \frac{a}{V^2}, \quad (21)$$

dobiva se pomoću van der Waalsove jednadžbe

$$\left( p + \frac{a}{V^2} \right) (V - b) = R T, \quad (22)$$

ako se iz nje izračuna diferencijalni kvocijent koji se nalazi u relaciji (17).

Pomoću latentne molarne topline isparavanja

$$L = \left( \frac{\partial U}{\partial V} \right)_T V_m, \quad (23)$$

koja je energija potrebna za isparavanje molarnog volumena  $V_m$  kapljivine, dobiva se izraz za unutrašnji tlak kapljivine

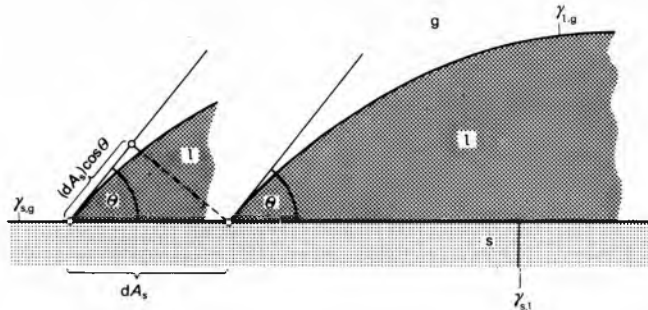
$$P_i = \frac{L}{V_m}, \quad (24)$$

ako se uzme u obzir relacija (9).

**Napetost površine.** Unutrašnji tlak i napetost površine odraz su privlačnih sila među molekulama u kapljivini, što se može objasniti kako energetskim odnosima i termodinamičkim funkcijama tako i usmjerenjem rezultante međumolekularnih sila u površinskom sloju kapljivine. Na molekulu, koja se nalazi u unutrašnjosti kapljivine, okolne molekule djeluju u svim mogućim smjerovima, njihovo se djelovanje međusobno ukida, te ne postoji rezultanta koja bi djelovala u nekom određenom smjeru. Ako se, međutim, molekula nalazi u graničnom površinskom sloju kapljivine (npr. na granici prema zraku), s jedne strane graničnog sloja na molekulu djeluju privlačne sile okolnih molekula u kapljivini, dok s druge strane graničnog sloja takve sile ne postoje. Kao posljedica javljaju se sile kojima se u graničnom sloju međusobno privlače molekule kapljivine, kao da su ugrađene u površinsku opnu kojom kapljivina graniči prema nekoj drugoj fazi. Međusobno privlačenje molekula kapljivine u graničnom površinskom sloju naziva se *napetost površine*, a definira se kao omjer sile kojom se molekule kapljivine u graničnoj *opni privlače* i dužine uzduž koje se ta sila mjeri ( $\text{Nm}^{-1}$ ). Njezina je vrijednost očito jednaka i omjeru energije potrebne da se iznos površine kapljivine poveća te samog iznosa povećanja površine ( $\text{Jm}^{-2}$ ). Zbog dje-lovanja napetosti površine kapljivina poprima po mogućnosti oblik kugle, tj. oblik kad je omjer površine i volumena najmanji. Kapljivina se stoga i pojavljuje u obliku kapljica (otuda

i naziv), kao što i mjeđurići plina poprimaju u kapljevine kuglasti oblik (v. *Pjene i aerosoli*). Napetost površine ovisi o svojstvima faza koje graniče, kao kapljevina i plin, ili dvije kapljevine koje se medusobno ne mijesaju, kao npr. voda i ulje. No, postoje tvari (površinski aktivne tvari, tenzidi, surfaktanti) koje znatno snizuju napetost površine ako su dodane i u malenim koncentracijama. Površinski aktivna tvar (v. *Detergenti*, TE3, str. 249) amfipatska je molekula, koja posjeduje, s obzirom na sposobnost vezivanja molekula kapljevine, dijelove različitih svojstava. Grupa atoma u amfipatskoj molekuli, koja je topljiva u kapljevini (kao što je polarna grupa topljiva u vodi) i koja stoga vezuje molekule kapljevine, naziva se liofilna grupa (ako vezuje vodu: hidrofilna grupa); grupa atoma u amfipatskoj molekuli, koja nije topljiva u kapljevini (kao što je nepolarni dio neke molekule netopljiv u vodi), i koju kapljevina stoga izbacuje, naziva se liofobna grupa (ako ne vezuje vodu: hidrofobna). Amfipatske se molekule nagomilavaju na granici faza i orijentiraju se s liofilnim dijelom uronjenim u kapljevinu, a s liofobnim dijelom *izbačenim* izvan kapljevine, te u granicnom sloju razdvajaju molekule kapljevine smanjujući napetost površine. Površinski aktivne tvari bitni su sastojak sredstava za pranje (v. *Detergenti*, TE3, str. 248), a također su od važnosti i u nekim drugim tehnološkim procesima, npr. prilikom emulgiranja (v. *Emulgiranje*, TE5, str. 313).

**Granična površina čvrste tvari i kapljevine.** Ponašanje kapljevine na površini čvrste tvari ovisi o svojstvima kako kapljevine, tako i čvrste tvari. Nanese li se kapljevina na površinu čvrste tvari, kapljevina će: a) rasprostrnjiti se po površini čvrste tvari, (kapljevina *kiasi* čvrstu tvar, kao što voda *kiasi* staklo), b) skupiti se u kuglicama sličnom obliku (kapljevina *ne kiasi*, kao što živa ne *kiasi* staklo), ili c) poprimiti će oblik više ili manje *razlivene* kapljice (sl. 1), a kut dodira (kontaktni kut)  $\Theta$  imat će konstantnu vrijednost bez obzira na veličinu kapljice.



Sl. 1. Proširenje kapljevine I po graničnoj plohi čvrste faze s za površinu  $dA_s$  u prisutnosti pare  $g$ ; uz izraz (25) za kut dodira  $\Theta$

Spomenute pojave ovise o energiji jedinične površine graničnog sloja kapljevine i plina ( $\gamma_{l,g}$ ), o energiji jedinične površine graničnog sloja čvrste tvari i plina ( $\gamma_{s,g}$ ), te o energiji jedinične površine graničnog sloja čvrste tvari i kapljevine ( $\gamma_{s,I}$ ), i te veličine određuju kut dodira jednadžbom

$$\cos \Theta = (\gamma_{s,g} - \gamma_{s,I}) / \gamma_{l,g}. \quad (25)$$

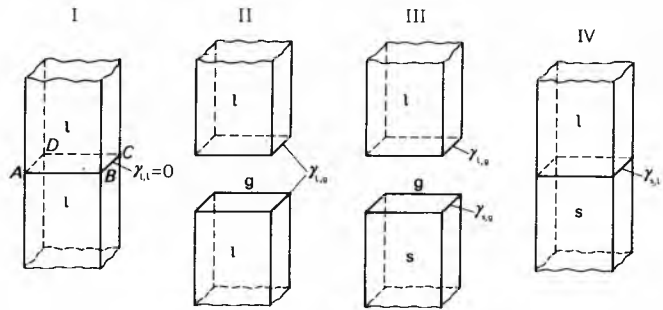
Kutom dodira (kontaktnim kutom)  $\Theta$  naziva se onaj kut što ga u točki gdje se dodiruju kapljevina, čvrsta tvar i plin zatvara s površinom čvrste tvari tangenta povučena na profil kapljice, i taj se kut mjeri preko kapljevine (v. *Flotacija*, TE5, str. 462, sl. 4). Kut dodira služi i kao indeks kvašljivosti. Ako je potpuno kvašenje, vrijedi  $\Theta = 0^\circ$ , ako nema kvašenja,  $\Theta = 180^\circ$ , a uobičajeno je reći da kapljevina *kiasi* ako je  $\Theta$  manji od  $90^\circ$ , te da ne *kiasi* ako je  $\Theta$  veći od  $90^\circ$ . Jednadžba (25) slijedi iz izraza za promjenu energije  $dW$  kad se kapljica I na sl. 1, koja u stanju ravnoteže leži na površini čvrste tvari s i u dodiru je s plinom g, proširi za diferencijal površine  $dA_s$  te kad se dobiveni izraz za priраст energije  $dW$  izjednači s nulom (što je uvjet za stanje ravnoteže i odgovara principu virtualne radnje u mehanici). Proširenjem kapljice na dio površine  $dA_s$  energija se površine na granici čvrste tvari i kapljevine povećala za  $\gamma_{s,I}dA_s$ , energija površine na granici između čvrste tvari i plina smanjila se za  $\gamma_{s,g}dA_s$ , a energija

površine na granici između kapljevine i plina povećala se za  $\gamma_{l,g}(dA_s)\cos\Theta$ , te za stanje ravnoteže vrijedi

$$dW = \gamma_{s,I}dA_s - \gamma_{s,g}dA_s + \gamma_{l,g}(dA_s)\cos\Theta = 0, \quad (26)$$

iz čega slijedi jednadžba (25).

Kao pokazatelj sposobnosti kvašenja služi i koeficijent rasprostiranja  $\Phi$ , koji kazuje koliko se energije osloboди po jedinici površine, na koju se tokom kvašenja proširila kapljevina. Ta se energija sastoji od dva dijela: od utrošenog rada kohezije  $W_C$ , potrebnog za razdvajanje jednog sloja kapljevine od isto takvog drugog priležećeg sloja kapljevine, te od dobitvenog rada adhezije  $W_A$ , kad razdvojeni sloj kapljevine prione za površinu čvrste tvari.



Sl. 2. Razdvajanje stupca kapljevine I (I, II) i uspostavljanje dodira stupca kapljevine I sa stupcem čvrste faze s (III, IV); zamišljeni eksperimenti za određivanje koeficijenta rasprostiranja  $\Phi$

Izračunavanje koeficijenta rasprostiranja osniva se na zamišljenom eksperimentu (sl. 2). Stupac kapljevine I površine presjeka  $A_s$  (I na sl. 2) na zamišljenom presjeku ABCD nema granične površine, pa energija zamišljene dodirne površine kapljevina – kapljevina iznosi  $W_I = 0$ . Nakon razdvajanja tog stupca kapljevine (II na sl. 2) nastaju dvije granične površine kapljevina – plin, svaka s energijom  $A_s \gamma_{l,g}$ , a obje zajedno s energijom

$$W_{II} = 2A_s \gamma_{l,g}. \quad (27)$$

Ta promjena energije po jedinici površine tokom razdvajanja stupca kapljevine predstavlja *utrošeni* (u sustav *dovedeni*) rad kohezije, koji po jedinici površine iznosi

$$W_C = \frac{W_{II} - W_I}{A_s} = 2\gamma_{l,g}. \quad (28)$$

Stupac kapljevine I i stupac čvrste tvari s jednakim površinama presjeka  $A_s$ , prije nego što se dodirnu (III na sl. 2), imaju energiju površine

$$W_{III} = A_s(\gamma_{l,g} + \gamma_{s,g}), \quad (29)$$

a nakon uspostavljanja dodira energija je površine

$$W_{IV} = A_s \gamma_{s,I}. \quad (30)$$

Razlika energije  $W_{III} - W_{IV}$  predstavlja *dobiveni* (iz sustava *odvedeni*) rad adhezije, koji po jedinici površine iznosi

$$w_A = \frac{(W_{III} - W_{IV})}{A_s} = \gamma_{l,g} + \gamma_{s,g} - \gamma_{s,I}. \quad (31)$$

Razlika između dobivene energije adhezije i utrošene energije kohezije po jedinici površine predstavlja iznos energije koji se dobiva tj. oslobođi po jedinici površine kada se kod kvašenja kapljevine proširi po površini čvrste tvari, što se naziva koeficijent rasprostiranja

$$\Phi = w_A - w_C = \gamma_{l,g} + \gamma_{s,g} - \gamma_{s,I} - \gamma_{l,g}. \quad (32)$$

To se vidi iz sl. 3 usporedbom energije površine prije kvašenja (lijevo) s energijom nakon kvašenja (desno).

Eksperimentalno je nezgodno određivati napetost površine čvrste tvari. Uvrsti li se, međutim, izraz

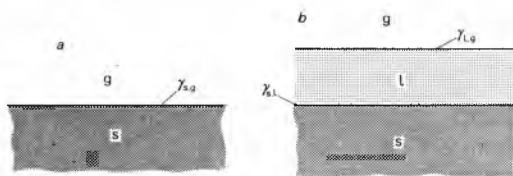
$$\gamma_{s,g} - \gamma_{s,I} = \gamma_{l,g} \cos\Theta \quad (33)$$

koji slijedi iz jednadžbe (25), dobiva se

$$\Phi = \gamma_{l,g}(\cos\Theta - 1). \quad (34)$$

Tada je izračunavanje koeficijenta rasprostiranja znatno jednostavnije, jer se i  $\gamma_{lg}$  i kut  $\Theta$  lako eksperimentalno određuju.

Kut dodira je veoma važan za neke tehnološke procese kao što je npr. flotacija (v. Flotacija, TE5, str. 460).



Sl. 3. Prikaz uz izraz (32) za određivanje koeficijenta rasprostiranja  $\Phi$ . a prije kvašenja, b nakon kvašenja površine čvrste tvari

**Granična površina između dviju kapljivina.** Za graničnu površinu između dviju kapljivina, koje se međusobno ne mijesaju, vrijede analogni odnosi i zakonitosti kao za granične površine između čvrste tvari i kapljivine. Ako se dvije kapljivine međusobno djelomično mijesaju i tvore dvije kapljivite faze, mijenja se vrijednost napetosti površine, što se odražava i na svojstva granične međupovršine.

**Ovisnost napetosti površine o temperaturi.** Kad se žele uspoređivati površinske energije različitih kapljivina, korisno je razmatrati molarnu površinsku energiju. Ona se određuje uz pretpostavku da mol tvari ima oblik kugle, pa je molarna površina

$$A_{sm} = \left[ 36\pi \left( \frac{M}{\varrho} \right)^2 \right]^{1/3}, \quad (35)$$

gdje je  $M$  molarna masa, a  $\varrho$  gustoća. Ako je  $\gamma$  površinska energija po jedinici površine, molarna površinska energija iznosi

$$\gamma A_{sm} = \gamma \left( \frac{M}{\varrho} \right)^{2/3} (36\pi)^{1/3}. \quad (36)$$

Treći je član produkta konstanta koja ne ovisi o svojstvima kapljivine, pa se zakonitosti površinske energije razmatraju pomoću funkcije

$$\omega = \gamma \left( \frac{M}{\varrho} \right)^{2/3}. \quad (37)$$

Njezine vrijednosti proporcionalne su molarnoj energiji površine kapljivine u obliku kugle.

Empirijski je utvrđeno da se vrijednost funkcije  $\omega$  linearno smanjuje s porastom temperature  $T$ , pa na kritičnoj temperaturi  $T_c$  nestaje granična površina (menisk) između kapljivite i plinske faze (v. Fazne ravnoteže, TE5, str. 384). Zbog toga, kad je  $T = T_c$ , površinska energija postaje jednaka nuli, što vrijedi i za funkciju  $\omega$ . To pokazuje i jednadžba (R. von Eötvös, 1886)

$$\omega = \gamma \left( \frac{M}{\varrho} \right)^{2/3} = k(T_c - T), \quad (38)$$

koja vrijedi za temperature niže od kritične. No, eksperimentalni podaci (W. Ramsay i J. Shields, 1893) pokazuju da vrijednosti funkcije  $\omega$  naniže prema temperaturi  $T$  leže na pravcu

$$\omega = k[T_c - (T + 6)], \quad (39)$$

te da na temperaturi bliskoj kritičnoj vrijednosti za  $\omega$  odstupaju od pravca (39) i konvergiraju nuli ( $\omega = 0$  za  $T = T_c$ ). Konstanta  $k$  u (39) posjeduje zajedničku i o temperaturi neovisnu vrijednost za kapljivine kad molekule ne asociraju, dok u asociranim molekulama (npr. voda, alkoholi, karbonske kiseline) konstanta ima manje, i o temperaturi ovisne vrijednosti.

Eötvosova jednadžba (38) korigirana je (M. Katayama, 1916. g.) zamjenom gustoće kapljivine  $\varrho$  razlikom gustoće ( $\varrho - \varrho'$ ), gdje je  $\varrho$  gustoća kapljivine, a  $\varrho'$  gustoća pare na istoj temperaturi. Uvrštavanjem te razlike u (38), uz preuređenje desne strane, dobiva se

$$\gamma \left( \frac{M}{\varrho - \varrho'} \right)^{2/3} = k T_c \left( 1 - \frac{T}{T_c} \right). \quad (40)$$

Kad se uvede van der Waalsov izraz

$$\left( 1 - \frac{T}{T_c} \right) = \left( \frac{\gamma}{\gamma_0} \right)^{5/6}, \quad (41)$$

gdje je  $\gamma_0$  konstanta karakteristična za svaku kapljevinu, a vrijednost je eksperimentalno utvrđena eksperimentalno, dolazi se do izraza

$$\frac{\gamma^{1/4}}{(\varrho - \varrho')} = C. \quad (42)$$

Vrijednost konstante  $C$  određena je za svaku tvar, a jednadžba (42) empirijski je potvrđena (D. B. Macleod, 1923) i preko parahora povezana s kemijskom strukturu kapljevine.

**Mjerenje napetosti površine.** Jedna od metoda za određivanje napetosti površine osniva se na pojavi i održavanju mjeđuhura u kapljevini te pojavi razlike tlakova zbog djelovanja napetosti površine zakrivljene plohe. Presječe li se mjeđuhur oblika kugle, polumjera  $R$  unutar kojeg vlada tlak  $p$ , nekom ravninom (sl. 4), presječi će krug polumjera  $r$ . Činjenica da mjeđuhur može postojati, pokazuje da je sila  $F_1$ :

$$F_1 = p r^2 \pi, \quad (43)$$

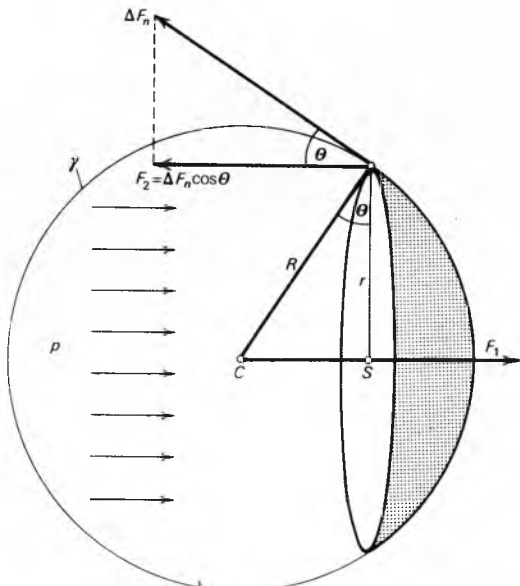
kojom plin u mjeđuhuru djeluje na krug polumjera  $r$ , nastojeći otcijsjeti kalotu (osjenčanu na sl. 4), jednaka sili  $F_2$ , koja uslijed djelovanja sile  $F_n$  napetosti površine održava ravnotežu sili  $F_1$ :

$$F_2 = 2r\pi\gamma\cos\Theta, \quad (44)$$

gdje je  $\gamma$  napetost površine mjeđuhura. Izjednačenjem izraza (43) i (44) slijedi:

$$p = \frac{2\gamma\cos\Theta}{r} = \frac{2\gamma}{R}, \quad (45)$$

uzevši u obzir da je  $\cos\Theta = r/R$ .



Sl. 4. Prikaz zamišljenog eksperimenta za određivanje napetosti površine

Otcijepljena kalota odgovara sfernom menisku na granici kapljivite i plinske faze. Takav sferni menisk pojavljuje se kad se kapljivina nalazi u kapilari, a jednadžba (45) služi za izračunavanje napetosti površine.

U metodi kapilarnog podizanja (kapilarne elevacije) (sl. 5) hidrostatski tlak kapljivine

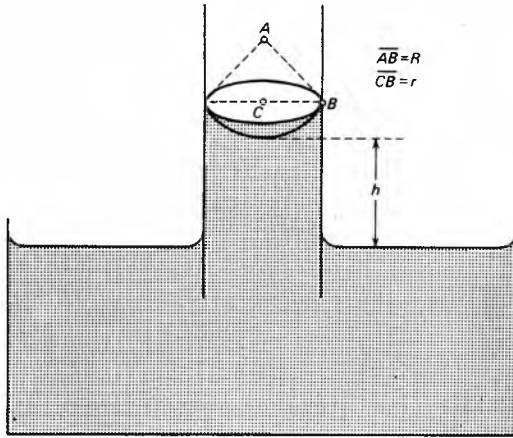
$$p = h\varrho g, \quad (46)$$

suprotstavlja se djelovanju napetosti površine, te se prema

jednadžbi (45) izračunava vrijednost za napetost površine

$$\gamma = h \varrho g / (2 \cos \Theta), \quad (47)$$

poznavajući polumjer  $r$  kapilare, kut dodira  $\Theta$ , gustoću  $\varrho$  kapljevine, ubrzanje sile teže  $g$ , te razliku  $h$  razina kapljevine u kapilari i posudi u koju je kapilara vertikalno uronjena. Kad kapljevina ne kvasi (kao npr. živa u staklenoj cjevčici), kontaktni je kut veći od  $90^\circ$  i razina kapljevine u kapilari spušta se ispod razine u posudi (kapilarna depresija). Pojava podizanja, odnosno spuštanja razine kapljevine u kapilari naziva se kapilarnost.

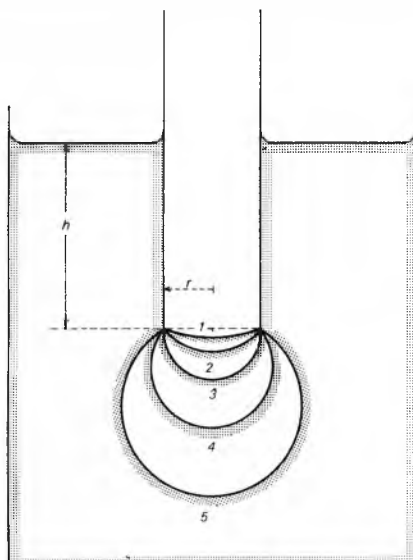


Sl. 5. Kapilarno podizanje kapljevine

Napetost se površine može odrediti i metodom ispuhivanja plina u kapljevinu pod kontroliranim tlakom (sl. 6). Tlak plina u cjevčici iznosi

$$p = h \varrho g + 2\gamma/R. \quad (48)$$

Prvi član potječe od hidrostatskog tlaka kapljevine izvan cjevčice ( $h$  je dubina do koje je cjevčica uronjena), a drugi član je posljedica djelovanja napetosti sferozakrivljene površine prema (45). Polumjer  $R$  plinskog mjeđura u kapljevini tokom puhanja najprije se smanjuje ( $l$  i  $2$  na sl. 6), polumjer  $R$  je minimalan kad je jednak polumjeru  $r$  kapilare ( $R = r$ ,  $3$  na sl. 6), a zatim se ponovno povećava ( $4$  i  $5$  na sl. 6). Pojava minimalnog polumjera mjeđura, kad je  $R = r$ , popraćena je, prema (48), pojmom maksimalnog ravnotežnog tlaka  $p$ . Dalje povećavanje tlaka zbog ispuhivanja plina uz povećavanje polumjera  $R$  mjeđura dovodi do otkidanja mjeđura, jer je tada za ispuhivanje plina primjenjen tlak veći od ravnotežnoga. Utvrđena granična vrijednost za ravnotežni tlak prije otkidanja mje-



Sl. 6. Ispuhivanje plina u kapljevinu

hura omogućuje izračunavanje napetosti površine  $\gamma$  prema jednadžbi (48) uz  $R = r$ .

Određivanje napetosti površine pomoću stalagmometra (mjeđu kapljica) osniva se na jednakosti

$$V_k \varrho g = 2r\pi\gamma, \quad (49)$$

jer se kapljica volumena  $V_k$  i težine  $V_k \varrho g$  otkida s otvora cjevčice polumjera  $r$  kad je njena težina jednak sili  $2r\pi\gamma$ , kojom je u času otkidanja drži sila napetosti površine duž opsega otvora cjevčice. Jednadžba (49) približno je točna (W. D. Harkins i F. E. Brown, 1919) i može praktički poslužiti za relativno određivanje napetosti površine. Iz stalagmometra (pipete s ravno izbrusenim završetkom i sa dvije označene razine) polagano se ispušta prvo jedna od ispitivanih kapljevina i odbrojavaju se kapljice dok kapljevina istjeće od gornje do donje označene razine, a nakon toga se postupak ponovi s drugom kapljevinom. Kako volumen  $V_k$  jedne kapljice iznosi  $V_k = V_{tot}/n$ , kad je  $V_{tot}$  volumen kapljevine ispuštene od gornje do donje označene razine, a  $n$  broj kapljica sadržan u tom volumenu, vrijedi

$$\gamma_1/\gamma_2 = (\varrho_1/\varrho_2)(n_2/n_1). \quad (50)$$

Napetost površine ispitivane kapljevine  $\gamma_1$  izračunava se prema (50) ako je poznata vrijednost za  $\gamma_2$ . Za relativno određivanje često se upotrebljava voda kao referentna kapljevina koja ima  $\gamma_2 = 72,8 \cdot 10^{-3} \text{ Nm}^{-1}$  pri  $20^\circ\text{C}$ . Poznajući gustoću vode i ispitivane kapljevine te brojenjem kapljica pomoću formule (50) izbjegava se izravno određivanje volumena, odnosno težine kapljice. Ako se želi odrediti napetost površine graničnog sloja između dviju kapljevina, izvodi se analogni eksperiment s otvorom stalagmometra uronjenim u drugu kapljevinu. Za tu svrhu postoje posebne izvedbe stalagmometra.

Pri primjeni metoda *otkidanja* pomoću *tenziometra* u kapljevinu je uronjen prsten poznatog opsega, koji je vezan za krak vase (npr. torzijske vase, P. L. du Noüy, 1919, A. Lottermoser-H. Winter, 1934). Sila se potezanja prstena povećava dok se prsten ne probije kroz granični sloj i time *otkine* iz površine kapljevine. Napetost se površine izračunava dijeljenjem sile otkidanja dvostrukim opsegom prstena, jer pri otkidanju kapljevina drži prsten uzduž unutrašnjeg kao i uzduž vanjskog opsega.

**Viskoznost i fluidnost.** Kad kapljevina protječe, međusobno se pomiču pojedini slojevi. Pri manjim brzinama protjecanja slojevi kapljevine različitih brzina pomiču se međusobno平行no i takvo se strujanje naziva laminarno, dok pri većim brzinama nastaju vrtlozi među slojevima što se naziva turbulentno strujanje (v. *Mehanika fluida*). Kad kapljevina protječe, javlja se među slojevima unutrašnje trenje što se naziva viskoznost. Za laminarno strujanje vrijedi Newtonov zakon: pri parallelnom strujanju dva slojeva kapljevine površine  $A_s$ , koji su međusobno udaljeni  $dr$  i u brzini se razlikuju za  $dv$ , sila trenja  $F$ , kojom jedan sloj djeluje na drugi, iznosi

$$F = \eta A_s dv/dr. \quad (51)$$

Konstanta  $\eta$  naziva se dinamička viskoznost (koeficijent viskoznosti). Jedinica za dinamičku viskoznost u SI sustavu jedinica ima dimenziju  $\text{Nsm}^{-2} = \text{Pas}$ . U CGS sustavu poise (P) jedinica je za dinamičku viskoznost ( $1 \text{ P} = 0,1 \text{ Pas}$ ). Recipročna vrijednost dinamičke viskoznosti naziva se fluidnost (žitkost), pa je  $\varphi = 1/\eta$ .

Ako kapljevina laminarno struji kroz cjevčicu, radi se o nizu međusobno koncentričnih slojeva na koje se može primijeniti jednadžba (51) i izvesti Poiseuilleov izraz (1844) za izračunavanje viskoznosti

$$\eta = \pi t Pr^4 / (8 V l), \quad (52)$$

gdje je  $P$  razlika tlaka na početku i na kraju cjevčice (kad kapljevina istjeće zbog vlastite teže,  $P$  je hidrostatski tlak),  $t$  vrijeme potrebno da volumen  $V$  isteće kroz cjevčicu duljine  $l$  i polumjera  $r$ . Taj se izraz najčešće upotrebljava za relativno određivanje viskoznosti.

Sila trenja  $F$  također se pojavljuje i kad neko čvrsto tijelo prolazi kroz kapljevinu (a također i kroz plin). Ako je gibanje

dovoljno polagano da strujanje bude laminarno, vrijedi Stokesov zakon

$$F = k \eta v, \quad (53)$$

gdje je  $v$  brzina gibanja čvrstog tijela,  $\eta$  dinamička viskoznost kapljevine, a  $k$  konstanta koja ovisi o veličini i obliku čvrstog tijela. Vrijednost sile trenja prema jednadžbi (53) podešava se izborom tijela pogodnog oblika i veličine, što daje pogodnu vrijednost za konstantu  $k$ ; velika vrijednost za  $k$  postiže se upotrebom tijela u obliku padobrana, pa je zbog velikog trenja brzina padanja malena, a mala vrijednost za  $k$  dobiva se tijelom s aerodinamičkom linijom, čime se ostvaruje malo trenje i velike brzine gibanja čvrstog tijela. Za tijelo u obliku kugle utvrđeno je da je  $k = 6\pi r$  (G. G. Stokes, 1850). Ako se pri padanju kroz kapljevinu težina čvrstog tijela (korigirana s obzirom na uzgon) izjednači sa silom trenja, gibanje je jednoliko (analogno padu s padobranom u zraku) i mjerjenje brzine jednolikog padanja kroz kapljevinu služi kao jedna od metoda za određivanje viskoznosti.

Mjerjenje je viskoznosti napose važno za proučavanje makromolekula, gdje se na osnovi izmjerenih podataka za viskoznost otopine i otapala,  $\eta$  i  $\eta_0$ , mogu izvući zaključci o relativnoj molekularnoj masi  $M$  i obliku otopljenih makromolekule. Reaktivna viskoznost predstavljena je izrazom

$$\eta_{\text{rel}} = \eta / \eta_0, \quad (54)$$

specifična viskoznost

$$\eta_{\text{sp}} = \eta_{\text{rel}} - 1, \quad (55)$$

a unutrašnja viskoznost

$$\eta_u = \lim_{c \rightarrow 0} \eta_{\text{sp}} / c \quad (56)$$

ekstrapolirana je vrijednost omjera specifične viskoznosti i koncentracije otopine  $c$  kad koncentracija otopine konvergira prema nuli. Unutrašnja viskoznost naziva se još i *granični broj viskoznosti* (prema *limiting viscosity number*), katkad se pod nazivom unutrašnje viskoznosti nailazi na  $\eta_u/100$ , a katkad se koncentracija  $c$  izražava brojem grama u  $100\text{cm}^3$  otopine. Ustanovljeno je da je

$$\eta_u = k M^\alpha \quad (57)$$

(H. Staudinger, 1932, H. Mark, R. Houwink), gdje je  $M$  molarna masa, a  $k$  i  $\alpha$  su konstante ovisne o vrsti makromolekula i o otapalu, a uz to vrijednost za  $\alpha$  pokazuje i na oblik otopljenih molekula (za fleksibilno klupko  $\alpha \approx 2$ , za čvrstu kuglastu molekulu  $\alpha = 0$ ).

Bilo je predloženo više jednadžba za određivanja fluidnosti smjese kapljevina. Jedna je od njih (E. C. Bingham, 1906)

$$\varphi = x_A \varphi_A + x_B \varphi_B, \quad (58)$$

gdje su  $x_A$  i  $x_B$  molni udjeli komponenata  $A$  i  $B$ , a  $\varphi_A$  i  $\varphi_B$  fluidnosti čistih komponenata  $A$  i  $B$ . Bolje, međutim, zadovoljava jednadžba (J. Kendall, 1913)

$$\log \varphi = x_A \log \varphi_A + x_B \log \varphi_B. \quad (59)$$

Predložene jednadžbe bolje odgovaraju kad su u smjesi po svojstvima slične kapljevine.

**Ovisnost viskoznosti kapljevine o temperaturi i o slobodnom prostoru u kapljevini.** Viskoznost kapljevine raste s porastom tlaka i smanjuje se s porastom temperature, za razliku od plina kojemu je viskoznost gotovo neovisna o tlaku, a raste s povišenjem temperature. Ovisnost viskoznosti kapljevine o temperaturi može se prikazati eksponencijalnom funkcijom (S. Arrhenius, 1912, J. de Guzmann-Carrancio, 1913)

$$\eta = A \exp(\Delta E_{\text{vis}} / RT), \quad (60)$$

gdje je  $\Delta E_{\text{vis}}$  energija aktiviranja za viskozno protjecanje, odnosno molarna potencijalna barijera i iznosi  $\frac{1}{4} \cdot \frac{1}{3}$  molarne potencijalne topline isparivanja kapljevine,  $R$  univerzalna plinska konstanta,  $T$  termodinamička temperatura, a  $A$  konstanta. Empirijski je utvrđen iznos (A. J. Batschinski, 1913)

$$\eta = \frac{c}{v - \omega}, \quad (61)$$

koji vrijedi za neasocirane kapljevine na konstantnoj temperaturi. U (61)  $c$  i  $\omega$  konstante su za određenu kapljevinu, a  $v$  specifični volumen kapljevine. Odатле slijedi da je

$$\varphi = \frac{1}{\eta} = \frac{v - \omega}{c} \approx \frac{v - b}{c}. \quad (62)$$

Jednadžba (62) pokazuje na linearu ovisnost fluidnosti  $\varphi$  o specifičnom volumenu  $v$  i o ukupnom *slobodnom prostoru*, tj. ukupnom volumenu šupljina ( $v - b$ ) u kapljevini. Ustanovljeno je da vrijedi  $\omega \approx 0,31 v_c$  i  $v_c = 3b$ , gdje je  $v_c$  kritični volumen kapljevine, a  $b$  kovolumen u van der Waalsovoj jednadžbi stanja za realni plin (22).

Za dugačke lančaste molekule (npr. ugljikovodike i polimere) glasi ovisnost viskoznosti o temperaturi

$$\log \eta = a + b/T + c Z^{1/2}, \quad (63)$$

gdje su  $a$  i  $c$  konstante, vrijednost za  $b$  određena je energijom aktiviranja za viskozno protjecanje, a  $Z$  je prosječni broj atoma u lancu. Neki podaci govore da u dugačkim lančastim molekulama vrijednost viskoznosti određuju segmenti lanca od otprilike tridesetak atoma.

**Teorija viskoznosti kapljevine.** Pri teoretskom razmatranju veze između viskoznosti i temperature, s jedne strane, pošlo se od pretpostavke da se energija u kapljevini prenosi međusobnim dodirom molekula koje osciliraju (E. N. da C. Andrade, 1931) i s druge strane, od predodžbe da svaka molekula u kapljevini zauzima neki ravnotežni položaj, te da može prijeći u neki drugi ravnotežni položaj jedino kad ima potrebnu energiju aktiviranja. Spomenuta druga predodžba održava se u jednadžbi (60), i to članom  $\exp(E_{\text{vis}} / RT)$ . Energija aktiviranja povezuje se s toplinom isparivanja kapljevine, budući da se pri isparivanju također stvaraju šupljine u kapljevini slične onima pri pomicanju molekula prilikom protjecanja, a ona ovisi i o struktURNIM svojstvima kapljevine (npr. o vodikovoj vezi).

Teorija apsolutnih brzina reakcije (H. Eyring, 1936) omogućuje objašnjenje fizičkog smisla konstante  $A$  u jednadžbi (60) na osnovi molarne mase i volumena te nekih drugih fizičkih parametara, a u novije vrijeme razrađena je teorija i odgovarajući složeniji izrazi za viskoznost, koji se dobro podudaraju s eksperimentalnim podacima. Oni pokazuju i na povezanost viskoznosti s koeficijentom difuzije (v. *Difuzija*, TE3, str. 302).

**Mjerjenje viskoznosti kapljevine.** Uredaji za mjerjenje viskoznosti kapljevine mogu se svrstati u tri glavne grupe: kapilarne viskozimetri, viskozimetri s kuglicom i rotacijski viskozimetri. Kao primjer kapilarnog viskozimetra može poslužiti Ostwaldov viskozimetar (sl. 7), kojim se određuje relativna viskoznost prema nekoj referentnoj kapljevini poznate viskoznosti. Određeni volumen kapljevine  $I$  sisanjem se izdigne iznad oznake  $a$  i zapornom urom odredi se vrijeme  $t_1$  koje je potrebno da se menisk kapljevine  $m$  spusti od oznake  $a$  do oznake  $b$ , a zatim se postupak ponovi s jednakim volumenom kapljevine  $2$  i odredi vrijeme  $t_2$ . Iz Poiseuilleove jednadžbe (52) slijedi

$$\eta_1 / \eta_2 = t_1 \varrho_1 / t_2 \varrho_2. \quad (64)$$

Viskoznost  $\eta_1$  za ispitivanu kapljevinu određuje se ako se zna  $\eta_2$  za referentnu kapljevinu (kao referentna kapljevina često služi voda,  $\eta = 1,008 \cdot 10^{-3}$  Pas pri  $20^\circ\text{C}$ ). Omjer tlakova  $P_1 / P_2$  prema (52) jednak je omjeru gustoće  $\varrho_1 / \varrho_2$  prema (64).

Princip viskozimetra s kuglicom primijenjen je u Höpplerovu viskozimetru, u kojem kroz cijev ispunjenu kapljevinom pada kuglica, te se određuje vrijeme trajanja dok kuglica prijeđe put između dviju oznaka na cijevi. Iz Stokesova zakona (53) slijedi

$$\eta_1 / \eta_2 = F_1 v_2 / F_2 v_1 = (\varrho' - \varrho_1) t_1 / [(\varrho' - \varrho_2) t_2]. \quad (65)$$

Gustoće  $\varrho_1$  i  $\varrho_2$  odnose se na kapljevine  $1$  i  $2$ ,  $\varrho'$  je gustoća kuglice,  $t_1$  i  $t_2$  su vremena trajanja pada kuglice između navedenih dviju oznaka na cijevi kad je cijev napunjena kapljevinom  $1$ , odnosno  $2$ . Desna strana jednadžbe (65) dobivena je uvrštenjem izraza za težinu kuglice uz korekciju za uzgon

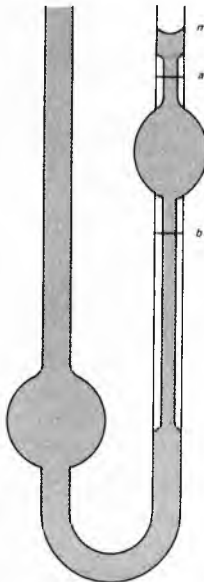
$$F_1 = V_k (\varrho' - \varrho_1) g \quad (66)$$

$$F_2 = V_k (\varrho' - \varrho_2) g \quad (67)$$

te jednolike brzine padanja

$$v_1 = d/t_1; \quad v_2 = d/t_2, \quad (68)$$

gdje je  $V_k$  volumen kuglice,  $g$  ubrzanje sile teže,  $d$  razmak među oznakama na cijevi.



Sl. 7. Ostwaldov viskozimetar

Rotacijski tip zastupljen je Couetteovim viskozimetrom. Kaplevina se nalazi u valjku koji rotira, a viskoznost se izračunava prema sili koja djeluje na cilindričnu ploču, koja je koaksijalno uronjena u kaplevinu (v. Električna mjerjenja, TE3, str. 656, sl. 64).

U metodi oscilirajućeg diska viskoznost se određuje iz pri-gušivanja oscilacija diska, koji se nalazi u ispitivanoj kaplevini između dva učvršćena paralelna diska.

#### MEZOMORFNO STANJE (SREDNJI OBLIK)

Osebujna kemijska struktura može biti uzrokom naročitih fizičkih svojstava. Kad se promatra ponašanje dugačkih lančastih molekula koje posjeduju *aktivne grupe* (D. Vorländer, 1908) bilo na kraju lanca (npr.  $-OR$ ,  $-COOR$ ) bilo u sredini (npr.  $-C=C-$ ,  $-C=N-$ ,  $-N=NO-$ ), ili *p*-derivata benzena, prilikom taljenja kristala ili hlađenja taline zapaža se određeni interval temperature (F. Reinitzer, 1888) u kojem se javlja prijelazno stanje koje se naziva mezomorfno, a također i stanje tekućeg kristala (O. Lehmann, 1889. g.). S obzirom na fluidnost mezomorfno stanje podsjeća na kaplevinu, a pravilnost strukture i pojava anizotropnosti mezomorfognog stanja nalikuje na kristal, što se očituje pri difraciji rendgenskih zraka te prilikom dvoloma i interferencije polarizirane svjetlosti. Mezomorfno stanje u nekim slučajevima pojavljuje se kao mutna kaplevina (npr. u holesteril-benzoatu). Neke tvari prelaze kroz više različitih mezomorfnih stanja, koja se međusobno razgraničuju određenim prijelaznim temperaturama (npr. etilanisal-amino-cinamat). Smatra se da u mezomorfnom stanju, odnosno u stanju tekućeg kristala (E. Bose, 1909) nastaju *rojevi* međusobno paralelno orientiranih molekula, no ti rojevi, međutim, nisu međusobno paralelni. Svaki se roj može usporediti s malim kristalom, ali roj nije uređen na *kruti* način niti je konstantne veličine. Predodžba o rojevima donekle podsjeća na cibotaktične grupe, ali bi roj bio znatno veći od cibotaktične grupe i uz to bi postojanje rojeva bilo određeno oštrim temperaturnim granicama mezomorfognog stanja. Na rojevima dolazi do difracije rendgenskih, odnosno svjetlosnih zraka, a porastom temperature rojevi se zbog termičkog gibanja smanjuju i nestaju dvolom (koji je vezan za anizotropnost) te mezomorfno stanje prelazi u kaplevinu (u ovom slučaju talinu). Tekući kristali (mezomorfno stanje) postoje i u živoj stanicici, i smatra se da je to stanje važno za biološke funkcije, jer sjedinjuje fluidnost i sposobnost difuzije kaplevine

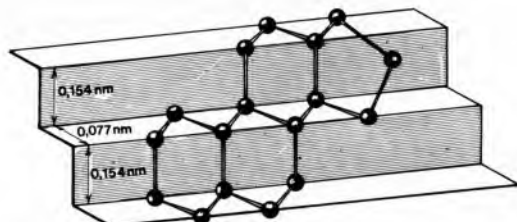
uz očuvanje unutrašnje strukture karakteristične za kristal (J. Needham, 1942. g.).

Za mezomorfno stanje postoji smektična faza i nematična faza (G. Friedel, 1922. g.), za koje je uobičajeni naziv mezofaze, a postoji i holesterična faza, koja je osobiti slučaj nematičnog stanja.

**Smektična faza (sapunu slična).** Tvar u smektičnom stanju ne teče, već pojedini slojevi *klizu* u pojedinim ravninama, te poput niza *terasa* nastaju stepeničaste kapljice, često s izraženim bridovima. Lančaste su molekule u svakom pojedinom sloju *terase* međusobno paralelne, ali nejednako udaljene i okomite na ravninu terase (usporedba: naslagani niz četaka sa čekinjama). Smektičnu fazu grade spojevi koji posjeduju polarnu (*aktivnu*) grupu na jednom kraju lanca (npr. amonij-oleat) ili na oba kraja lanca (npr. *p*-azoksi-esteri), i u čvrstom stanju imaju slojeve međusobno paralelnih molekula. Mezomorfnu fazu smektičnog tipa grade, npr., još i etil-*p*-azoksi-benzoat, etil-*p*-azoksi-cinamat, *n*-oktil-*p*-azoksi-cinamat.

**Nematična faza (koncu slična)** ima nisku viskoznost i dobro teče, te je po svojstvima bliža izotropnoj kaplevini nego kad je tvar u smektičnoj fazi. Lančaste su molekule u nematičnoj fazi međusobno paralelne, ali, za razliku od smektične faze, nisu svrstane u međusobno odijeljene slojeve (nematična faza nalikuje na otvoreni paketić cigareta, gdje su cigarete međusobno paralelne, a svaka je pojedina cigareta više ili manje izvučena). Nematičnu fazu imaju spojevi, koji posjeduju *aktivnu grupu* ili na početku ili u sredini lančaste molekule, te stoga nastaje struktura slična preklapanju crepova na krovu. Tada se, naime, pojavljuje adheriranje *aktivne grupe* na kraju jednog lanca s *aktivnom grupom* na sredini drugog lanca, kao što je nađeno također i u čvrstom stanju takvih spojeva (J. D. Bernal, G. Crowfoot, 1933). Mezomorfnu fazu nematičnog tipa grade npr. još i *p*-azoksi-anisol, *p*-azoksi-fenetol, anisaldezin, *p*-metoksicinamata kiselina, dibenzal-benzipidin.

**Holesterična faza.** Posebni slučaj nematične strukture pokazuje holesterol, njegovi derivati i slično građene molekule. Zahvaljujući prostornoj građi steroidne jezgre holesterola, od razmjerne mnogobrojnih molekula izgrađuje se tzv. holesterična faza slojevite strukture i posebnih učinaka u polariziranoj svjetlosti. Steroidna jezgra leži u stepeničasto ispresavijanoj ravnini (sl. 8) i holesterična se faza može smatrati nematičnom tvorevinom koja posjeduje određenu strukturu *vijka*, koja je nastala međusobnim zakretom steroidnih jezgara kao osnovnih elemenata te strukture. Esteri holesterola s kiselinama od mravlje do miristinske tvore holesterične faze, a u esterima holesterola s kiselinama duljih lanaca prevladava funkcija lančastog dijela molekule, što stvara smektičnu fazu.



Sl. 8. Prostorni model steroidne jezgre

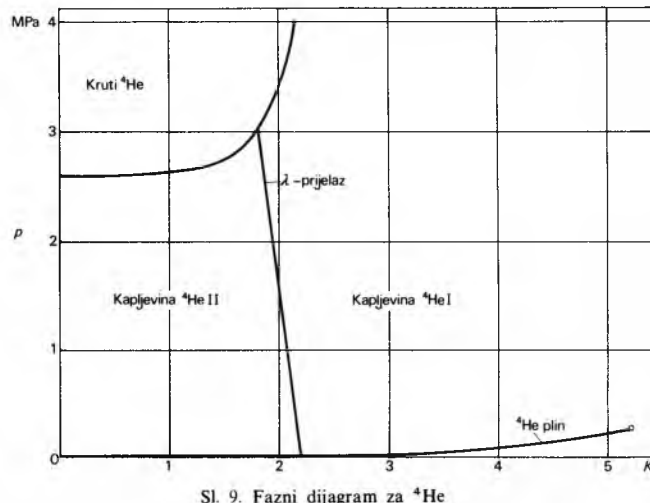
**Staklasto stanje** je također kompromis između svojstava kaplevine i svojstava kristala. Dok tekući kristal pokazuje izvanjska svojstva kaplevine i strukturu znatno veće pravilnosti te stoga blisku strukturi kristala, staklasto stanje pokazuje mehanička svojstva nalik na kristal, ali unutrašnju strukturu znatno niže sredenosti i stoga blisku strukturi kaplevine. Zbog naglog porasta viskoznosti pri brzom hlađenju taline čestice ne dospiju zauzeti međusobne položaje koji odgovaraju strukturi kristala, i stoga je u staklastom stanju *zaostala* struktura kaplevine (*pothladena kaplevina*). Poduljim stajanjem dolazi do rastakljivanja kad se iz stakla izlučuju kristali analogno izlučivanju iz taline koja se hlađi, odnosno iz prezasićene otopine. Izlučeni kristali mogu biti i koloidnih

dimenzija (čvrsti sol), a moguće je i izokoloidno stanje kad su i dispergirane čestice i disperzjsko sredstvo istog kemijskog sastava, ali zbog nedovoljno sredene strukture njihova se fizička stanja razlikuju (G. Tammann, 1930). Staklasto se stanje također može smatrati i *amorfnom* čvrstom tvari, u kojoj je slijed međusobnog povezivanja konstituenata isti kao u kristalu, ali kojоj, međutim, nedostaje pravilnost mrežaste strukture kristala, što bi se slikovito moglo prikazati većim i manjim *oknima* u prostornoj mreži kristalne rešetke. *Okna* se, naime, sastoje od većeg ili manjeg broja međusobno povezanih konstituenata. Struktura se staklastog stanja prema tome doima kao *istegnuti* i *zgužvana* nepravilna prostorna mreža (W. H. Zachariasen, 1932, v. *Čvrsto stanje*, TE3, str. 129, sl. 1). Pomanjkanje pravilnosti u strukturi uzrokuje u staklastom stanju difuznost linija rendgenske interferencije, te pojavu da tvar u takvom stanju pri zagrijavanju postepeno omešava uz odgovarajuće smanjivanje viskoznosti. Za razliku od kristala, koji imaju oštro određenu temperaturu taljenja (talište), u staklastom stanju, zahvaljujući nepravilnosti u strukturi, uz kontinuirani porast temperature postupno se razara struktura na pojedinim mjestima i time postupno omešava. Svojstvo stvaranja staklastog stanja posjeduje niz tvari, kao npr.  $\text{SiO}_2$ ,  $\text{B}_2\text{O}_3$  (također i u smjesi s oksidima alkalijskih te zemnoalkalijskih metala),  $\text{GeO}_2$ ,  $\text{As}_2\text{O}_3$ ,  $\text{As}_2\text{O}_5$ ,  $\text{P}_2\text{O}_5$ ,  $\text{BeF}_2$ , a od organskih spojeva npr. glicerol i glukoza.

### SUPRAFLUIDNOST

To je pomanjkanje unutrašnjeg trenja (viskoznost  $\eta = 0$ ). Jedino kaplevina helij II ima to svojstvo. Helij se u prirodi pojavljuje kao smjesa izotopa  ${}^4\text{He}$  i  ${}^3\text{He}$  (u koncentracijskom omjeru  $10^6:1$ ), a suprafluidna kaplevina He II neobičnih svojstava u stvari je  ${}^4\text{He}$  u određenim uvjetima fazne ravnoteže (sl. 9). Čvrsti helij nastaje pri vrlo niskoj temperaturi i odgovarajućem tlaku, koji je znatno viši od ravnotežnog tlaka zasićene pare. Između područja čvrste faze i područja plina nalazi se područje dviju različitih kaplevitih faza, He I i He II (također anormalna pojava), a područja njihovog postojanja međusobno su razgraničena krivuljom, tzv. lambda prijelaza. Kaplevina He I ponaša se normalno, a suprafluidna kaplevina He II pokazuje niz osobitosti. Već prema načinu određivanja, dobivene su bitno različite vrijednosti za viskoznost kaplevine He II. Metoda protjecanja daje izvanredno nisku vrijednost ( $\eta$  manji od  $10^{-12}$  Pas, P. Kapitza, 1938), i ta se pojava naziva suprafluidnost, dok metoda prigušivanja oscilacija diska daje oko stotinu tisuća puta veću vrijednost za  $\eta$  (E. Andronikashvili, 1946). Zapaženo je da se kaplevina He II ponaša kao da je sastavljena od dvaju međusobno različitih fluida: suprafluida zanemarivo niske viskoznosti (koji je dao vrijednost za  $\eta$  u metodi protjecanja) i normalnog viskoznog fluida (koji je prigušivao oscilacije diska i dao znatno veću vrijednost za  $\eta$ ). Ta je predodžba dovela do modela dvaju fluida koji se međusobno prožimaju. Normalni je fluid nosilac entropije kaplevine, što je poslužilo i za teorijsku razradbu predodžbe o kaplevitom heliju i suprafluidnosti kaplevine He II (L. Tisza, 1947, L. S. Landau). Transformacija He I u He II i obratno (tzv. lambda prijelaz) nije popraćen niti toplinskim niti volumnim promjenama, ali se mijenja specifična toplina i volumni koeficijent ekspanzije. Nenormalno ponašanje kaplevine He II odražava se i u vrlo visokoj vrijednosti toplinske vodljivosti, u mehaničko-termičkim pojavnama (zbog temperaturnog gradijenta nastaju razlike tlakova, J. F. Allen i H. Jones, 1938) i pojavljuje se efekt *vodoskoka* pa kapleviti He II visoko štrca (J. F. Allen i J. Reekie, 1939), u *mehanokaloričnom* efektu (razlika tlakova uzrokuje temperaturni gradijent, J. G. Daunt i K. Mendelsohn, 1939), a napose u pojavi suprafluidnog filma na površini čvrstog tijela. Kad dolazi do dodira s čvrstim tijelom, kaplevina He II stvara suprafluidni film, koji bez trenja teče po površini čvrstog tijela. Ako se radi o praznoj posudi u dodiru s kaplevinom He II, suprafluidni film He II teče po vanjskoj stijenci posude, prelijeva se u posudu i puni je do izjednačenja razine kaplevine u posudi i izvan nje. Ako se posuda, napunjena kaplevinom He II, izdigne, suprafluidni film He II uspinje se s unutrašnje strane posude do ruba, prelijeva se na

vanjsku stranu i u kapljicama se cijedi s vanjske strane dna dok se posuda ne isprazni (J. G. Daunt i K. Mendelsohn, 1939). Predodžbu o modelu dvaju fluida u kaplevini He II podupiru eksperimenti širenja zvuka (longitudinalna oscilacija). Prvi zvuk se širi normalno uz odgovarajuće promjene u gustoći, a drugi zvuk samo uz odgovarajuće promjene u temperaturi (a ne u gustoći), kako su predviđeli L. Tisza (1938) i L. S. Landau (1941), a zapazio V. P. Peshkov (1946).



Sl. 9. Fazni dijagram za  ${}^4\text{He}$

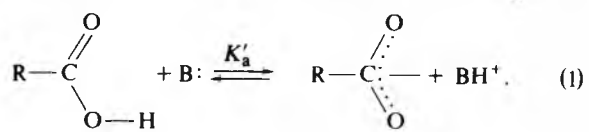
Pojava tekućeg helija i suprafluidnosti He II izotopa  ${}^4\text{He}$  predmet je niza matematički razrađenih studija i teorija. Kvantnu teoriju kaplevine He II razradili su L. S. Landau, F. London i R. P. Feynman na osnovi raspodjele kvanta vibracijske energije (sonona) te kvanta rotacijskog vrtložnog gibanja (rotona). Pojava suprafluidnosti  ${}^4\text{He}$  povezana je s parnim brojem elementarnih čestica u jezgri za koju vrijedi Bose-Einsteinova statistika, dok se u slučaju  ${}^3\text{He}$  ne javlja suprafluidnost zbog neparnog broja elementarnih čestica u jezgri, pa tada vrijedi Fermi-Diracova statistika (v. *Fizika*, TE5, str. 457).

Sustav kaplevitog helija nailazi na primjenu pri postizanju i održavanju izvanredno niskih temperatura (ispod 0,1 K).

LIT.: S. Gleson, Udžbenik fizičke hemije. Naučna knjiga, Beograd, 1967. (prijevod). — Physical chemistry, An advanced treatise, Volume VIII A/Liquid state. D. Henderson (Ed.), Academic Press, New York-London, 1971. — Physical chemistry, An advanced treatise, Volume VIII B/Liquid state. D. Henderson (Ed.), Academic Press, New York-London, 1971. — W. J. Moore, Physical chemistry. Longman, 1974. — McGraw-Hill Encyclopedia of Science and Technology. McGraw-Hill Inc., New York 1971.

R. Wolf

**KARBOKSILNE KISELINE**, vrsta ugljikovih spojeva sa jednom ili više karboksilnih grupa ( $-\text{COOH}$ ) vezanih na ostatak molekule. Karboksilna grupa, karakteristična za te spojeve, nosilac je kiselih svojstava koja potječe od relativno lakog heterolitičkog cijepanja  $\text{O}-\text{H}$  veze uz nastajanje  $\text{H}^+$  iona koji se veže s bazom B, a to je molekulska vrsta s barem jednim slobodnim elektronskim parom (npr. voda,  $\text{H}-\ddot{\text{O}}-\text{H}$ ):



karboksilna kiselina

karboksilat-ion

Karboksilne kiseline raširene su u prirodi u biljnim i životinjskim organizmima u slobodnom stanju ( $\text{RCOOH}$ ) ili u obliku njihovih derivata od kojih su najčešći: soli ( $\text{RCOO}^- \text{M}^+$ , gdje je M atom nekog jednovalentnog metalra), esteri ( $\text{RCOOR}'$ , v. *Esteri*, TE5, str. 352) i amidi ( $\text{RCONR}_2'$ , v. *Amidi*, TE1, str. 263).